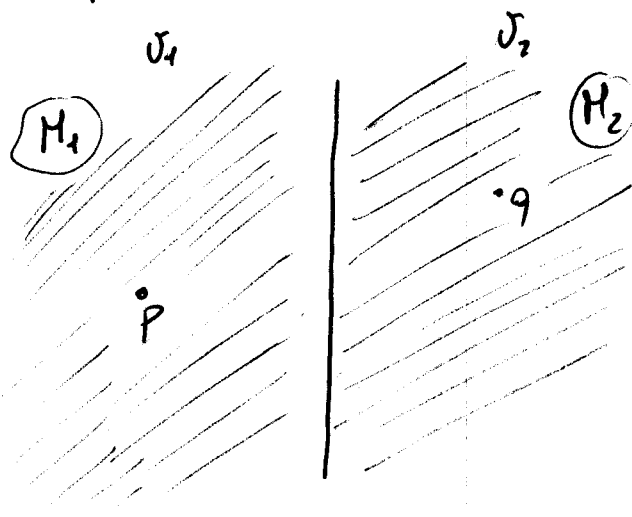
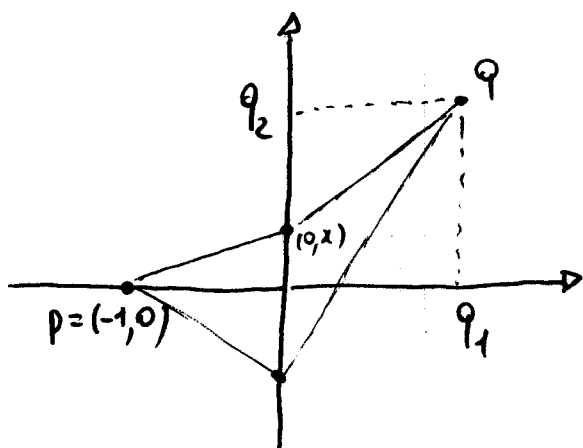


# Esempi di ottimizzazione non vincolata



Nel mezzo  $M_i$  ci si muove con velocità costante  $\sigma_i$ ,  $i=1,2$ .  
Individuare il tragitto più veloce da  $p$  a  $q$ .

Modellazione: scegliere assi cartesiani t.c. l'asse delle ordinate coincide con la superficie (retta) di separazione tra  $M_1$  e  $M_2$  e l'asse delle ascisse passi per  $p$ ; scegliere l'unità di misura in modo tale che  $p = (-1, 0)$  e l'orientamento degli assi t.c.  $q_2 > 0$



Nei mezzi omogenei i tragitti più veloci sono segmenti, quindi basta determinare dove il tragitto attraversa l'asse delle ordinate:  $(0, x)$  con  $x$  incognito

Tempo di percorrenza: 
$$f(x) = \frac{\sqrt{1+x^2}}{\sigma_1} + \frac{\sqrt{q_1^2 + (q_2-x)^2}}{\sigma_2}$$

Il problema è quindi:  $\min \{ f(x) : x \in \mathbb{R} \}$

$$\nabla f(x) (= f'(x)) = \frac{x}{\sigma_1 \sqrt{1+x^2}} - \frac{q_2-x}{\sigma_2 \sqrt{q_1^2 + (q_2-x)^2}}$$

$$\nabla f(x) = 0 \iff \boxed{\sigma_2 x \sqrt{q_1^2 + (q_2-x)^2} - \sigma_1 (q_2-x) \sqrt{1+x^2} = 0} \quad (*)$$

equazione non lineare (in una variabile)

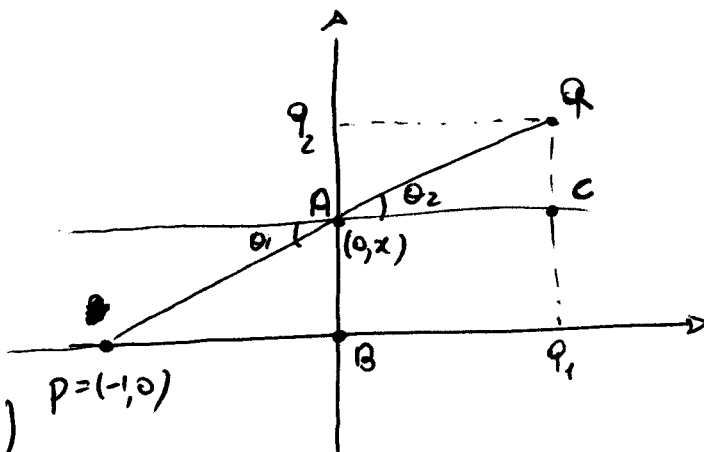
Es:  $f$  è convessa ( $f(x) = \frac{1}{\sigma_1} \|p - (0, x)\|_2 + \frac{1}{\sigma_2} \|q - (0, x)\|_2 + \dots$   $f_2$  convessa)

L'equazione (\*) può essere riscritta come  
(nota che  $x=q_2$  non risolve l'equazione)

$$\left( \frac{x}{\sqrt{1+x^2}} \right) \left( \frac{\sqrt{q_1^2 + (q_2-x)^2}}{q_2-x} \right) = \frac{\sigma_1}{\sigma_2}$$

$$\frac{\sigma_1}{\sigma_2} > 0 \Rightarrow x/(q_2-x) \geq 0 \Rightarrow 0 \leq x < q_2$$

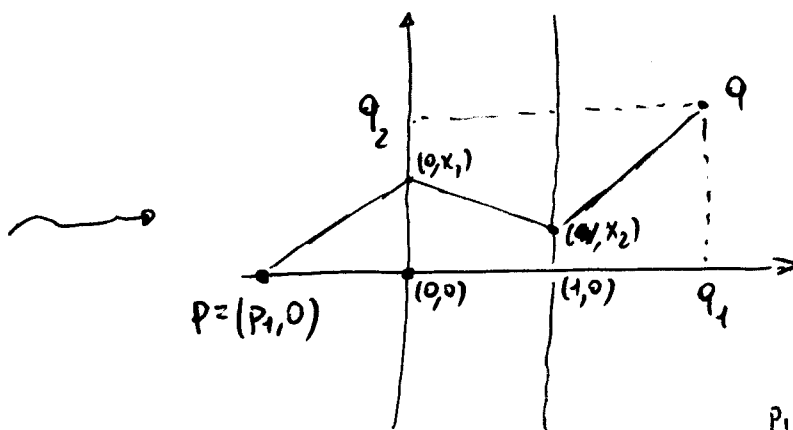
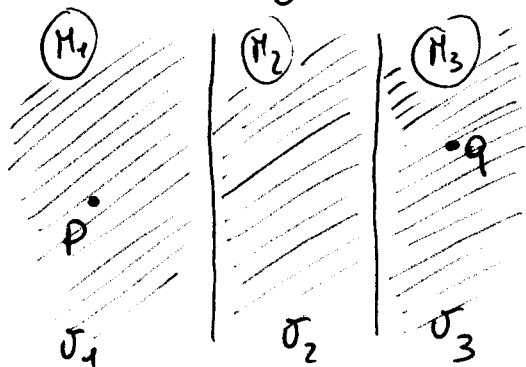
$$\underbrace{\left( \frac{AB}{PA} \right)}_{\sin \theta_2} \underbrace{\left( \frac{AR}{RC} \right)}_{1/\sin \theta_1} = \frac{\sigma_1}{\sigma_2}$$



$$\frac{\sin \theta_1}{\sin \theta_2} = \frac{\sigma_1}{\sigma_2} \quad (\text{legge della rifrazione})$$

[Snell-Cartesio]

Problema analogo con 3 mezzi:



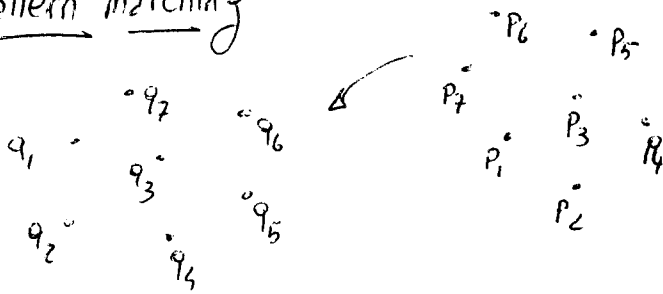
$$f(x_1, x_2) = \frac{\sqrt{p_1^2 + x_1^2}}{\sigma_1} + \frac{\sqrt{1 + (x_2 - x_1)^2}}{\sigma_2} + \frac{\sqrt{(q_1 - 1)^2 + (q_2 - x_2)^2}}{\sigma_3}$$

$p_1 = -1$   
 $q_1 = 2$   
 $q_2 = 1$   
 $\sigma_1 = 5, \sigma_2 = 1$   
 $\sigma_3 = 2$

(Es:  $f$  è convessa)

$$\nabla f(x) = 0 \iff \begin{cases} \frac{\partial f}{\partial x_1}(x_1, x_2) = \frac{x_1}{\sigma_1 \sqrt{p_1^2 + x_1^2}} - \frac{x_2 - x_1}{\sigma_2 \sqrt{1 + (x_2 - x_1)^2}} = 0 \\ \frac{\partial f}{\partial x_2}(x_1, x_2) = \frac{x_2 - x_1}{\sigma_2 \sqrt{1 + (x_2 - x_1)^2}} - \frac{x_2}{\sigma_3 \sqrt{(q_1 - 1)^2 + (q_2 - x_2)^2}} = 0 \end{cases}$$

Sistema di  
2 equazioni  
non lineari  
(in 2 variabili)

Point pattern matching $n=2$ 

Quanto sono "simili" i due insiemi di punti  $q_1, q_2, \dots, q_k \in \mathbb{R}^2$  e  $p_1, p_2, \dots, p_k \in \mathbb{R}^2$ ?

Applicazioni: visione e grafica computerizzata, astronautica (mappa stellari e posizione + orientazione di satelliti), biologia/chimica/farmacologia (allineamento di strutture proteiche, individuazione di frammenti molecolari con proprietà curative), registrazione di immagini, impronte digitali, penne calligrafiche .....

"similitudine = rotazione + omotetia + traslazione"

rotazione  $\rightarrow A(\theta) = \begin{bmatrix} \cos \theta & -\sin \theta \\ \sin \theta & \cos \theta \end{bmatrix}$ ,  $\theta \in \mathbb{R}$

omotetia  $\rightarrow \gamma \in \mathbb{R}$ , traslazione  $\rightarrow d = (d_1, d_2) \in \mathbb{R}^2$

$$\mathbb{R}^2 \ni p_i \mapsto \gamma A(\theta) p_i + d$$

Misura di quanto differiscono i due insiemi dopo la trasformazione per similitudine " $\theta, \gamma, d$ "

$$f(\gamma, \theta, d_1, d_2) = \min_{\delta \in \mathcal{P}} \sum_{i=1}^k \|\gamma A(\theta) p_{\delta(i)} + d - q_i\|_2^2, \quad \mathcal{P} = \{\text{permutazioni di } 1, 2, \dots, k\}$$

$$\min \{ f(\gamma, \theta, d_1, d_2) : \gamma, \theta, d_1, d_2 \in \mathbb{R} \}$$

$|\mathcal{P}| = k!$   $\rightarrow$  il computo di  $f$  è oneroso; inoltre  $f$  può non essere differenziabile

In alcune applicazioni l'unica numerazione ~~valida~~

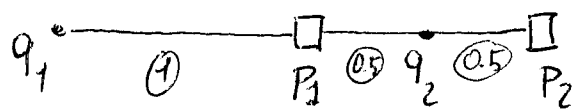
dei punti valida per la similitudine è nota a priori e non è necessario considerare

le permutazioni  $\rightarrow \hat{f}(\gamma, \theta, d_1, d_2) = \sum_{i=1}^k \|\gamma A(\theta) p_i + d - q_i\|_2^2$

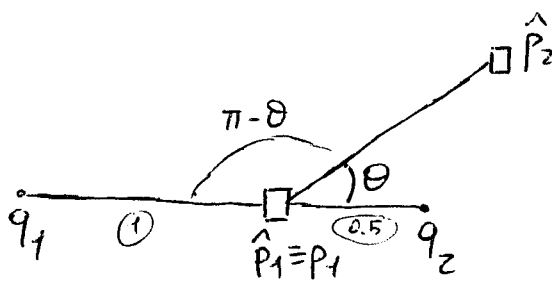
$\min \{ \hat{f}(\gamma, \theta, d_1, d_2) : \gamma, \theta, d_1, d_2 \in \mathbb{R} \}$  è un pb di MINIMI QUADRATI NONLINEARI

È possibile estendere il problema al caso di insiemi di cardinalità diversa

Esempio di  $f$  non differenziabile:  $k=2$   $q_1 = (-1, 0)$ ,  $q_2 = (1/2, 0)$ ,  $p_1 = (0, 0)$ ,  $p_2 = (1, 0)$



Consideriamo una rotazione di angolo  $\theta$   
fissando quindi  $\bar{g}=1$ ,  $\bar{d}_1 = \bar{d}_2 = 0$



$$\hat{p}_i = \bar{g} A(\theta) p_i + \bar{d} (= A(\theta) p_i)$$

Permutazione identica:  $1 \rightarrow 1$   
 $2 \rightarrow 2$  teo(Carnot)

$$\begin{aligned} \|\hat{p}_1 - q_1\|_2^2 &= 1 & \|\hat{p}_2 - q_2\|_2^2 &= \|\hat{p}_1 - q_2\|_2^2 + \|\hat{p}_1 - \hat{p}_2\|_2^2 - 2 \|\hat{p}_1 - q_2\|_2 \|\hat{p}_1 - \hat{p}_2\|_2 \cos \theta = \\ & & &= \frac{1}{4} + 1 - \cos \theta = \frac{5}{4} - \cos \theta \end{aligned}$$

misura associata alla permutazione:  $\|\hat{p}_1 - q_1\|_2^2 + \|\hat{p}_2 - q_2\|_2^2 = \frac{9}{4} - \cos \theta$

Permutazione "inversa":  $1 \rightarrow 2$   
 $2 \rightarrow 1$

$$\|\hat{p}_2 - q_1\|_2^2 = 1 + 1 - 2 \cos(\pi - \theta) = 2 + 2 \cos \theta, \quad \|\hat{p}_1 - q_2\|_2^2 = \frac{1}{4}$$

teo(Carnot)

misura associata alla permutazione:  $\|\hat{p}_2 - q_1\|_2^2 + \|\hat{p}_1 - q_2\|_2^2 = \frac{9}{4} + 2 \cos \theta$

Pertanto  $f(\bar{g}, \theta, \bar{d}_1, \bar{d}_2) = \min \left\{ \frac{9}{4} - \cos \theta, \frac{9}{4} + 2 \cos \theta \right\} =: g(\theta)$

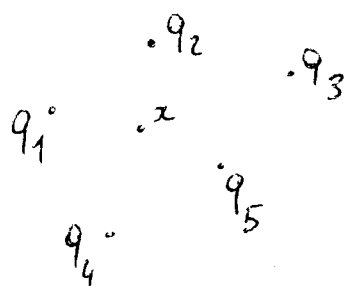
Siano  $\bar{\theta} = \pi/2$  e  $\bar{v} = (0, 1, 0, 0)$ : non esiste  $\frac{\partial}{\partial v} f(\bar{g}, \bar{\theta}, \bar{d}_1, \bar{d}_2)$  in quanto  $g$  non è derivabile in  $\pi/2$ . Infatti

$$\lim_{t \rightarrow 0^+} \frac{f(\bar{g}, \bar{\theta}+t, \bar{d}_1, \bar{d}_2) - f(\bar{g}, \bar{\theta}, \bar{d}_1, \bar{d}_2)}{t} = \lim_{t \rightarrow 0^+} \frac{g(\bar{\theta}+t) - g(\bar{\theta})}{t} = \lim_{t \rightarrow 0^+} \frac{2 \cos(\bar{\theta}+t)}{t} \stackrel{\text{H\^opital}}{=} \lim_{t \rightarrow 0^+} -2 \sin(\bar{\theta}+t) = -$$

$$\lim_{t \rightarrow 0^-} \frac{f(\bar{g}, \bar{\theta}+t, \bar{d}_1, \bar{d}_2) - f(\bar{g}, \bar{\theta}, \bar{d}_1, \bar{d}_2)}{t} = \lim_{t \rightarrow 0^-} \frac{g(\bar{\theta}+t) - g(\bar{\theta})}{t} = \lim_{t \rightarrow 0^-} \frac{-\cos(\bar{\theta}+t)}{t} = \lim_{t \rightarrow 0^-} \sin(\bar{\theta}+t) = 1$$

## Localizzazione di servizi ("facility location")

Scegliere il luogo  $x \in \mathbb{R}^n$  dove dislocare una "attività" che serve  $k$  luoghi  $q_1, q_2, \dots, q_k \in \mathbb{R}^n$  prefissati nel "miglior modo possibile" (ad esempio, la dislocazione di una antenna il cui segnale raggiunga i punti dati con la "migliore" intensità)



Applicazioni: logistica, selezione di parametri in statistica, errori di misurazione, disegno di reti

Possibili funzioni obiettivo da minimizzare:

$$f_1(x) = \sum_{i=1}^k \|q_i - x\|_2 \quad \text{pb di Weber} \quad (n=2, k=3 \rightarrow \text{punto di Fermat} \rightarrow \text{albero di Steiner})$$

$$f_2(x) = \sum_{i=1}^k \|q_i - x\|_2^2 \quad \text{pb del centroide di } q_1, q_2, \dots, q_k$$

$$f_3(x) = \max \{ \|q_i - x\|_2^2 : i=1, \dots, k \} \quad \text{pb del centro di Chebyshev} \quad (\text{centro della palla chiusa di raggio minimo che contiene tutti i punti } q_1, q_2, \dots, q_k)$$

$f_1, f_2, f_3$  sono funzioni convesse, ma

$x \mapsto \|q_i - x\|_2$  non è differenziabile in  $x = q_i$  (e quindi  $f_1$  non è differenziabile nei punti  $q_1, q_2, \dots, q_k$ )

$f_3$  può essere non differenziabile in quei punti  $x \in \mathbb{R}^n$  per cui esistono  $i \neq j$  tali che

$$\max_{i=1 \dots k} \|q_i - x\|_2^2 = \|q_i - x\|_2^2 = \|q_j - x\|_2^2 \quad (\text{esempio: } n=1, \max \{x^2, (x-2)^2\} \text{ per } x=1)$$

Il problema del centroide può essere risolto esplicitamente:

$$\nabla f_2(x) = 2 \sum_{i=1}^k (q_i - x)$$

$$\nabla f_2(\bar{x}) = 0 \Leftrightarrow \bar{x} = \frac{1}{k} \sum_{i=1}^k q_i \leftarrow \text{centroide}$$

Introduzione di "pesi" nella funzione obiettivo

$$\hat{f}_1(x) = \sum_{i=1}^K m_i \|q_i - x\|_2$$

$$\hat{f}_2(x) = \sum_{i=1}^K m_i \|q_i - x\|_2^2 \quad m_i \geq 0$$

Applicazioni: in demografia, con  $m_i$  la popolazione del luogo  $i$ , per individuare il "centro di una popolazione"

$\hat{f}_1 \rightarrow$  "media geometrica"  $\rightarrow$  punto di Fermat  $\equiv$  punto/luogo di tempo aggregato di viaggio minimo

$\hat{f}_2 \rightarrow$  centroide:  $\nabla \hat{f}_2(x) = 2 \sum_{i=1}^K m_i (q_i - x)$

$\nabla \hat{f}_2(\bar{x}) = 0 \Leftrightarrow \bar{x} = \frac{1}{\sum_{i=1}^K m_i} \sum_{i=1}^K m_i q_i$  (individua anche il centro di massa di  $K$  punti materiali  $i$  di massa  $m_i$  e coordinate  $q_i$ )

È possibile considerare norme diverse da quella euclidea, in particolare  $\|x\|_1 = \sum_{i=1}^n |x_i|$

che dà origine alla distanza "Manhattan"  $d_H(x, y) = \|x - y\|_1 = \sum_{i=1}^n |x_i - y_i|$

(che considera "spostamenti" ortogonali nel misurare la distanza)



Altri problemi di localizzazione contemplano la dislocazione di più "attività di servizio".